



# Coeficiente *Doppler*

Comparaciones entre mediciones en CNA2 y cálculos de cinética

Vignolo, R.<sup>1</sup>

Schivo, M.<sup>2</sup>



22 de Noviembre de 2016

XLIII Reunión Anual de la Asociación Argentina de Tecnología Nuclear

# Secciones Eficaces

## Dependencias multiparámetricas

Desarrollamos un modelo detallado de secciones eficaces:

	PL	PG	Funciones							
$Q$	$\theta_1$	$\theta_2$	$\theta_3$	$\theta_4$	$qI$	$z$	$\Sigma_x$	$C_{xe}$ y $C_l$	$(\partial \Sigma_x / \partial P)_{l,k}$	
$\vdots$	$\vdots$	$\vdots$	$\vdots$	$\vdots$	$\vdots$	$\vdots$	$\vdots$	$\vdots$	$\vdots$	$\vdots$

- ▶ modelar fenómenos considerados previamente despreciables;
- ▶ migrar hacia un código de celda más moderno;
- ▶ lo óptimo sería calcular con la mayor cantidad de herramientas.

# Secciones Eficaces

## Dependencias multiparámetricas

Desarrollamos un modelo detallado de secciones eficaces:

	PL				PG		Funciones		
$Q$	$\theta_1$	$\theta_2$	$\theta_3$	$\theta_4$	$qI$	$z$	$\Sigma_x$	$C_{xe}$ y $C_I$	$(\partial \Sigma_x / \partial P)_{I,k}$
$\vdots$	$\vdots$	$\vdots$	$\vdots$	$\vdots$	$\vdots$	$\vdots$	$\vdots$	$\vdots$	$\vdots$

- modelar fenómenos considerados previamente despreciables;
- migrar hacia un código de celda más moderno;
- lo óptimo sería calcular con la mayor cantidad de herramientas.

# Secciones Eficaces

## Dependencias multiparámetricas

Desarrollamos un modelo detallado de secciones eficaces:

	PL				PG		Funciones		
$Q$	$\theta_1$	$\theta_2$	$\theta_3$	$\theta_4$	$qI$	$z$	$\Sigma_x$	$C_{xe}$ y $C_I$	$(\partial \Sigma_x / \partial P)_{I,k}$
$\vdots$	$\vdots$	$\vdots$	$\vdots$	$\vdots$	$\vdots$	$\vdots$	$\vdots$	$\vdots$	$\vdots$

- modelar fenómenos considerados previamente despreciables;
- migrar hacia un código de celda más moderno;
- lo óptimo sería calcular con la mayor cantidad de herramientas.

# Secciones Eficaces

## Dependencias multiparámetricas

Desarrollamos un modelo detallado de secciones eficaces:

	PL				PG		Funciones		
$Q$	$\theta_1$	$\theta_2$	$\theta_3$	$\theta_4$	$qI$	$z$	$\Sigma_x$	$C_{xe}$ y $C_I$	$(\partial \Sigma_x / \partial P)_{I,k}$
$\vdots$	$\vdots$	$\vdots$	$\vdots$	$\vdots$	$\vdots$	$\vdots$	$\vdots$	$\vdots$	$\vdots$

- modelar fenómenos considerados previamente despreciables;
- migrar hacia un código de celda más moderno;
- lo óptimo sería calcular con la mayor cantidad de herramientas.

# Secciones Eficaces

## Dependencias multiparámetricas

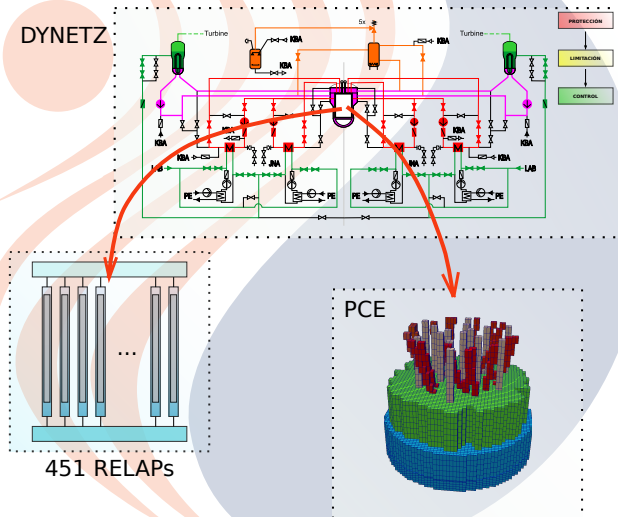
Desarrollamos un modelo detallado de secciones eficaces:

	PL				PG		Funciones		
$Q$	$\theta_1$	$\theta_2$	$\theta_3$	$\theta_4$	$qI$	$z$	$\Sigma_x$	$C_{xe}$ y $C_I$	$(\partial \Sigma_x / \partial P)_{I,k}$
$\vdots$	$\vdots$	$\vdots$	$\vdots$	$\vdots$	$\vdots$	$\vdots$	$\vdots$	$\vdots$	$\vdots$

- modelar fenómenos considerados previamente despreciables;
- migrar hacia un código de celda más moderno;
- lo óptimo sería calcular con la mayor cantidad de herramientas.

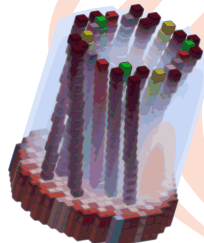
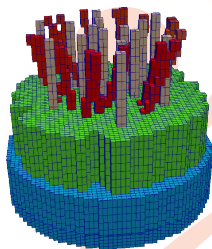
# DyPRA

## Modelo matemático-computacional de planta



# DyPRA

## Modelo matemático-computacional de planta



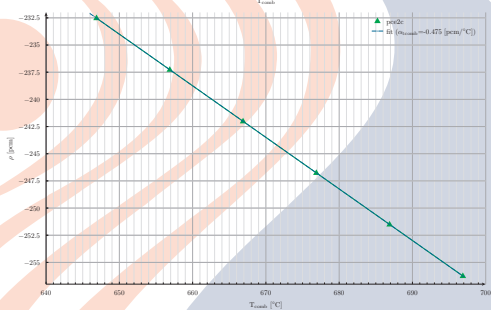
Modificamos PCE:

- ▶ interpolaciones  $N$  dimensionales;
- ▶ diferenciación entre parámetros globales y locales;
- ▶ distribuciones de parámetros por *shared memory*

Permitió incorporar el nuevo modelo de secciones eficaces.

# Coeficiente *doppler*

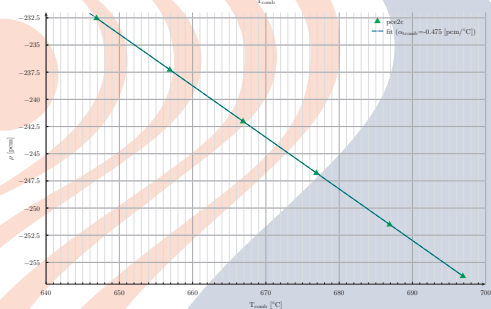
## Determinación estática



- ▶ Reactividad de referencia con  $P = P(x)$ .
- ▶ Se obtiene  $\langle P(x) \rangle$  pesando adecuadamente.
- ▶ Se perturba algún parámetro  $P(x) + \Delta P(x)$ .
- ▶ Se calcula la nueva reactividad.
- ▶ Se determina la nueva abscisa  $\langle P(x) + \Delta P(x) \rangle$ .

# Coeficiente *doppler*

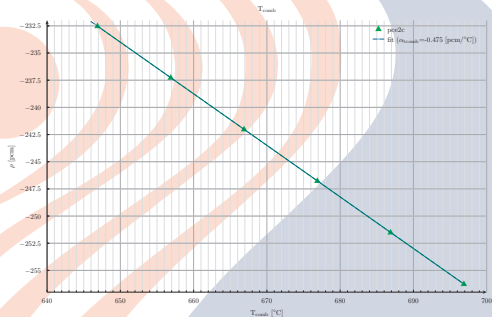
## Determinación estática



- ▶ Reactividad de referencia con  $P = P(x)$ .
- ▶ Se obtiene  $\langle P(x) \rangle$  pesando adecuadamente.
- ▶ Se perturba algún parámetro  $P(x) + \Delta P(x)$ .
- ▶ Se calcula la nueva reactividad.
- ▶ Se determina la nueva abscisa  $\langle P(x) + \Delta P(x) \rangle$ .

# Coeficiente *doppler*

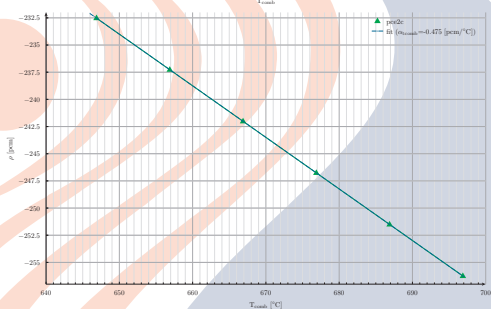
## Determinación estática



- ▶ Reactividad de referencia con  $P = P(x)$ .
- ▶ Se obtiene  $\langle P(x) \rangle$  pesando adecuadamente.
- ▶ Se perturba algún parámetro  $P(x) + \Delta P(x)$ .
- ▶ Se calcula la nueva reactividad.
- ▶ Se determina la nueva abscisa  $\langle P(x) + \Delta P(x) \rangle$ .

# Coeficiente *doppler*

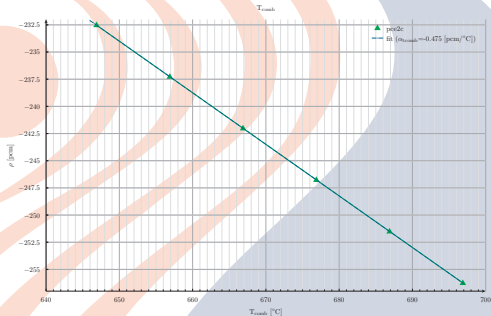
## Determinación estática



- ▶ Reactividad de referencia con  $P = P(x)$ .
- ▶ Se obtiene  $\langle P(x) \rangle$  pesando adecuadamente.
- ▶ Se perturba algún parámetro  $P(x) + \Delta P(x)$ .
- ▶ Se calcula la nueva reactividad.
- ▶ Se determina la nueva abscisa  $\langle P(x) + \Delta P(x) \rangle$ .

# Coeficiente *doppler*

## Determinación estática



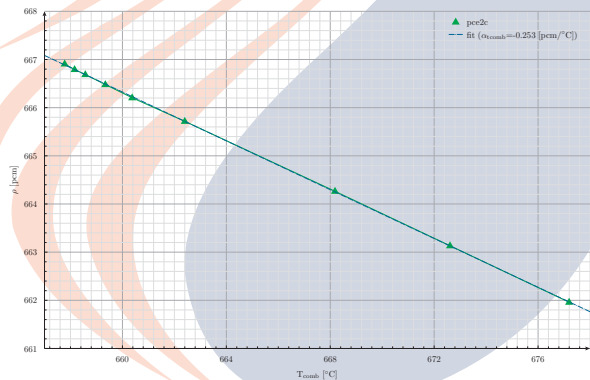
- Reactividad de referencia con  $P = P(x)$ .
- Se obtiene  $\langle P(x) \rangle$  pesando adecuadamente.
- Se perturba algún parámetro  $P(x) + \Delta P(x)$ .
- Se calcula la nueva reactividad.
- Se determina la nueva abscisa  $\langle P(x) + \Delta P(x) \rangle$ .

# Coeficiente doppler

## Determinación estática

Pero con el perfil de temperatura del combustible es ≠

- ▶ con  $\theta_i$  reconstruimos temperaturas medias y luego  $\langle T_f(x) \rangle$
- ▶ usamos nuevas distribuciones de  $\theta$  no triviales para perturbar:
  - ▶ salen de transitorios propuestos, porque perturbando uniformemente nos podemos ir de escala!

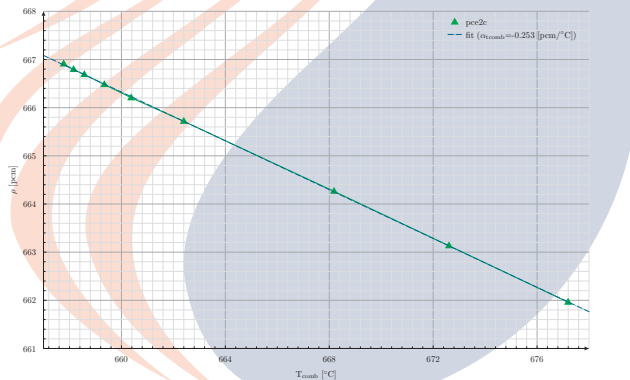


# Coeficiente doppler

## Determinación estática

Pero con el perfil de temperatura del combustible es  $\neq$

- ▶ con  $\theta_i$  reconstruimos temperaturas medias y luego  $\langle T_f(x) \rangle$
- ▶ usamos nuevas distribuciones de  $\theta$  no triviales para perturbar:
  - ▶ salen de transitorios propuestos, porque perturbando uniformemente nos podemos ir de escala!

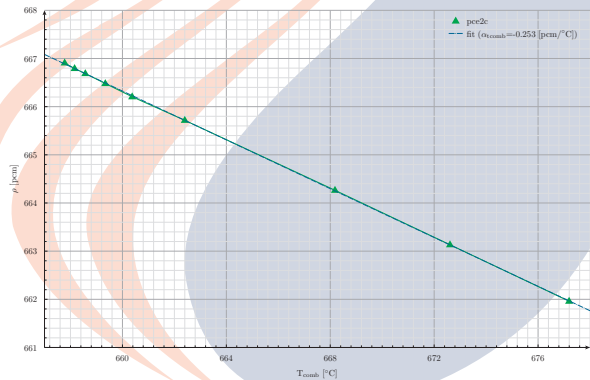


# Coeficiente doppler

## Determinación estática

Pero con el perfil de temperatura del combustible es  $\neq$

- ▶ con  $\theta$ ; reconstruimos temperaturas medias y luego  $\langle T_f(x) \rangle$
- ▶ usamos nuevas distribuciones de  $\theta$ ; no triviales para perturbar:
  - ▶ salen de transitorios propuestos, porque perturbando uniformemente nos podemos ir de escala!



# Coeficiente *doppler*

## Determinación transitoria

Con DyPRA (un modelo con viejas XS y otro con las nuevas):

- ▶ Se propone un transitorio *bypasseando* el control.
- ▶ Se obtiene la evolución de la potencia de fisión.
- ▶ Se realiza cinética inversa y se obtiene  $\rho(t)$ .

Cómo se hace esto?

$$\begin{aligned}\rho(t) = & \Gamma_R \cdot z(t) \\ & + \Gamma_{TK} \cdot \Delta T_K(t) + \Gamma_{DK} \cdot \Delta \delta_K(t) \\ & + \Gamma_{TM} \cdot \Delta T_M(t) + \Gamma_{DM} \cdot \Delta \delta_M(t) \\ & + \Gamma_U \cdot \Delta T_U(t) \\ & + \Gamma_X \cdot \Delta X(t),\end{aligned}$$

$$\frac{d\phi}{dt} = \frac{\rho(t) - \beta}{\Lambda} \cdot \phi(t) + \sum_{i=1}^{15} \lambda_i \cdot c_i(t),$$

$$\frac{dc_i}{dt} = \frac{\beta_i}{\Lambda} \cdot \phi(t) - \lambda_i \cdot c_i(t).$$

# Coeficiente doppler

## Determinación transitoria

Con DyPRA (un modelo con viejas XS y otro con las nuevas):

- ▶ Se propone un transitorio *bypasseando* el control.
- ▶ Se obtiene la evolución de la potencia de fisión.
- ▶ Se realiza cinética inversa y se obtiene  $\rho(t)$ .

Cómo se hace esto?

$$\begin{aligned}\rho(t) = & \Gamma_R \cdot z(t) \\ & + \Gamma_{TK} \cdot \Delta T_K(t) + \Gamma_{DK} \cdot \Delta \delta_K(t) \\ & + \Gamma_{TM} \cdot \Delta T_M(t) + \Gamma_{DM} \cdot \Delta \delta_M(t) \\ & + \Gamma_U \cdot \Delta T_U(t) \\ & + \Gamma_X \cdot \Delta X(t),\end{aligned}$$

$$\frac{d\phi}{dt} = \frac{\rho(t) - \beta}{\Lambda} \cdot \phi(t) + \sum_{i=1}^{15} \lambda_i \cdot c_i(t),$$

$$\frac{dc_i}{dt} = \frac{\beta_i}{\Lambda} \cdot \phi(t) - \lambda_i \cdot c_i(t).$$

# Coeficiente *doppler*

## Determinación transitoria

Con DyPRA (un modelo con viejas XS y otro con las nuevas):

- ▶ Se propone un transitorio *bypasseando* el control.
- ▶ Se obtiene la evolución de la potencia de fisión.
- ▶ Se realiza cinética inversa y se obtiene  $\rho(t)$ .

Cómo se hace esto?

$$\begin{aligned}\rho(t) = & \Gamma_R \cdot z(t) \\ & + \Gamma_{TK} \cdot \Delta T_K(t) + \Gamma_{DK} \cdot \Delta \delta_K(t) \\ & + \Gamma_{TM} \cdot \Delta T_M(t) + \Gamma_{DM} \cdot \Delta \delta_M(t) \\ & + \Gamma_U \cdot \Delta T_U(t) \\ & + \Gamma_X \cdot \Delta X(t),\end{aligned}$$

$$\frac{d\phi}{dt} = \frac{\rho(t) - \beta}{\Lambda} \cdot \phi(t) + \sum_{i=1}^{15} \lambda_i \cdot c_i(t),$$

$$\frac{dc_i}{dt} = \frac{\beta_i}{\Lambda} \cdot \phi(t) - \lambda_i \cdot c_i(t).$$



# Coeficiente *doppler*

## Determinación transitoria

Con DyPRA (un modelo con viejas XS y otro con las nuevas):

- ▶ Se propone un transitorio *bypasseando* el control.
- ▶ Se obtiene la evolución de la potencia de fisión.
- ▶ Se realiza cinética inversa y se obtiene  $\rho(t)$ .

Cómo se hace esto?

$$\begin{aligned}\rho(t) = & \Gamma_R \cdot z(t) \\ & + \Gamma_{TK} \cdot \Delta T_K(t) + \Gamma_{DK} \cdot \Delta \delta_K(t) \\ & + \Gamma_{TM} \cdot \Delta T_M(t) + \Gamma_{DM} \cdot \Delta \delta_M(t) \\ & + \Gamma_U \cdot \Delta T_U(t) \\ & + \Gamma_X \cdot \Delta X(t),\end{aligned}$$

$$\frac{d\phi}{dt} = \frac{\rho(t) - \beta}{\Lambda} \cdot \phi(t) + \sum_{i=1}^{15} \lambda_i \cdot c_i(t),$$

$$\frac{dc_i}{dt} = \frac{\beta_i}{\Lambda} \cdot \phi(t) - \lambda_i \cdot c_i(t).$$



# Coeficiente *doppler*

## Determinación transitoria

Con DyPRA (un modelo con viejas XS y otro con las nuevas):

- ▶ Se propone un transitorio *bypasseando* el control.
- ▶ Se obtiene la evolución de la potencia de fisión.
- ▶ Se realiza cinética inversa y se obtiene  $\rho(t)$ .

Cómo se hace esto?

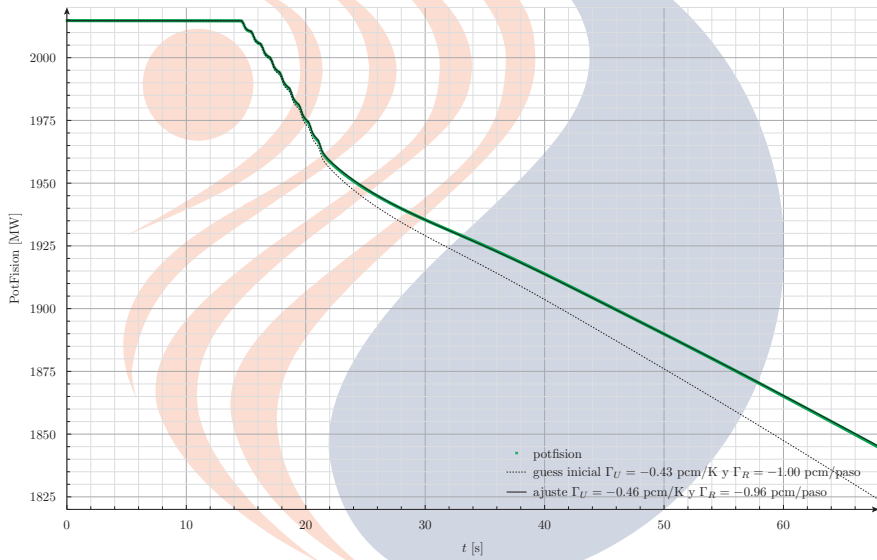
$$\begin{aligned}\rho(t) = & \Gamma_R \cdot z(t) \\ & + \Gamma_{TK} \cdot \Delta T_K(t) + \Gamma_{DK} \cdot \Delta \delta_K(t) \\ & + \Gamma_{TM} \cdot \Delta T_M(t) + \Gamma_{DM} \cdot \Delta \delta_M(t) \\ & + \Gamma_U \cdot \Delta T_U(t) \\ & + \Gamma_X \cdot \Delta X(t),\end{aligned}$$

$$\frac{d\phi}{dt} = \frac{\rho(t) - \beta}{\Lambda} \cdot \phi(t) + \sum_{i=1}^{15} \lambda_i \cdot c_i(t),$$

$$\frac{dc_i}{dt} = \frac{\beta_i}{\Lambda} \cdot \phi(t) - \lambda_i \cdot c_i(t).$$

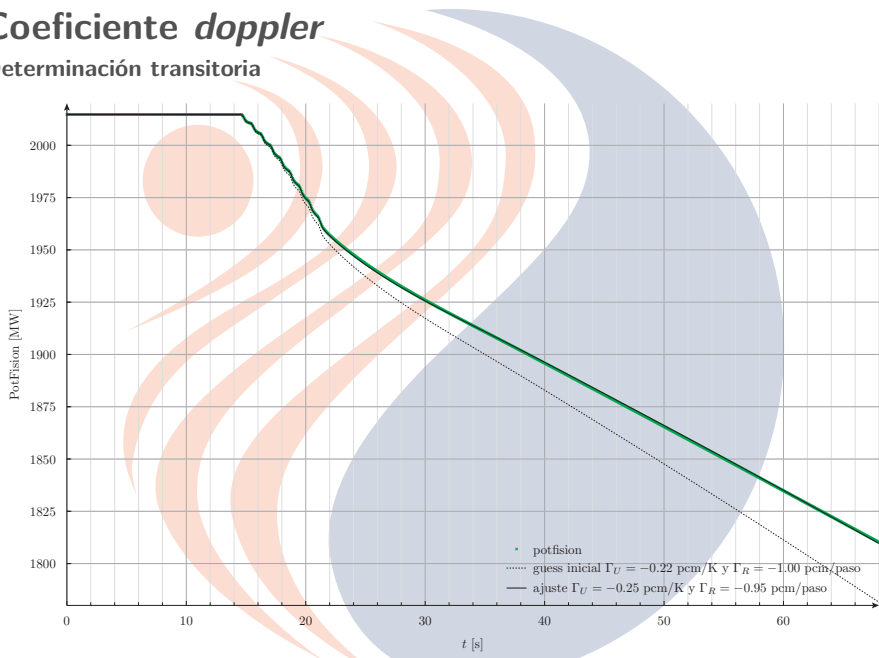
# Coeficiente doppler

## Determinación transitoria



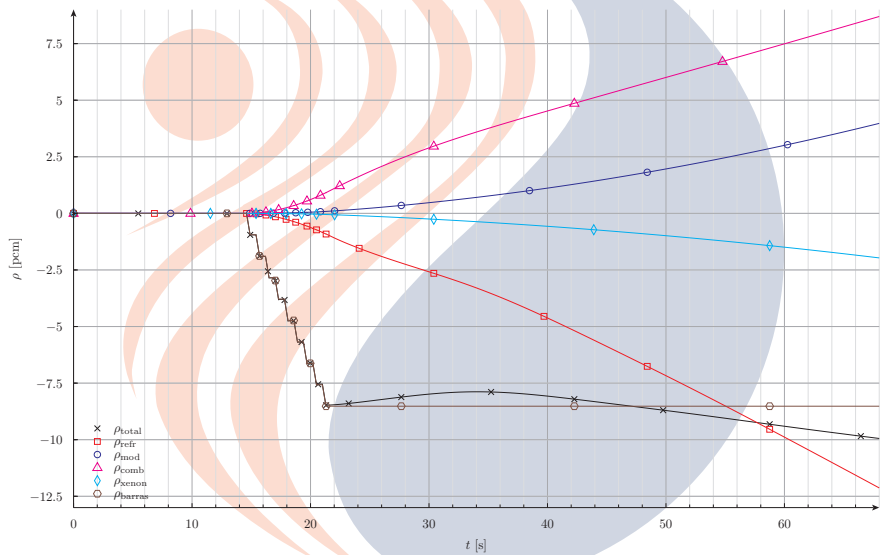
# Coeficiente doppler

## Determinación transitoria



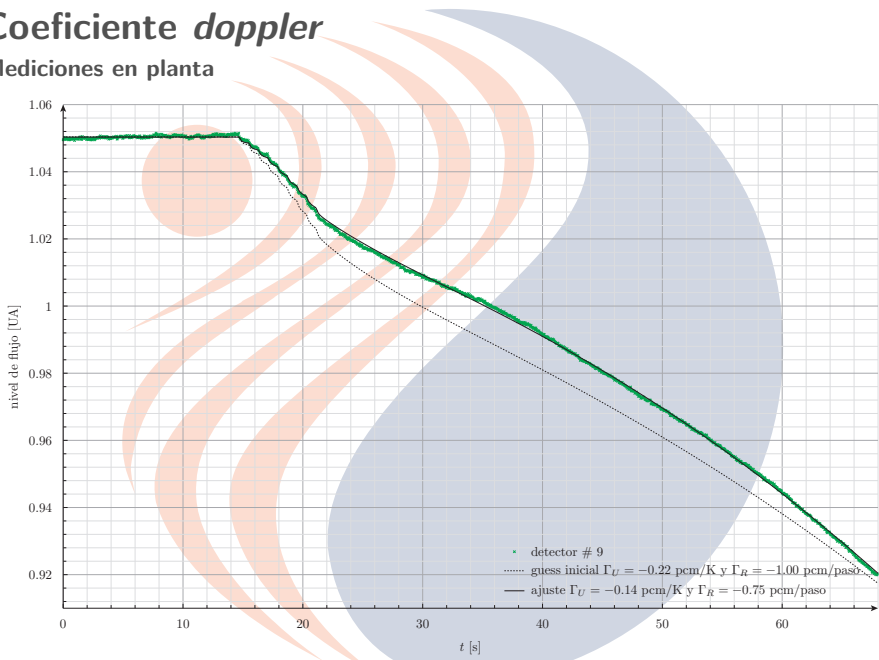
# Coeficiente doppler

## Determinación transitoria



# Coeficiente doppler

## Mediciones en planta



# Y las diferencias...

de donde provienen?

Modelos	Clásico	Detallado	Planta
Estacionario	-0.48 pcm/K	-0.25 pcm/K	-
Transitorio	-0.46 pcm/K	-0.25 pcm/K	(-0.14 ± 0.05) pcm/K

- ▶ El nuevo modelo se acerca al valor determinado experimentalmente;
- ▶ ya no se sobreestima la reactividad introducida por el combustible;
- ▶ sin embargo, siguen existiendo diferencias...
- ▶ pero todo tiene que ver, probablemente, con  $\Gamma_{TM}$ .

Fin



Muchas gracias por su atención!